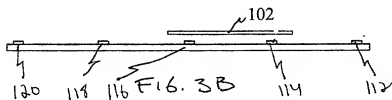
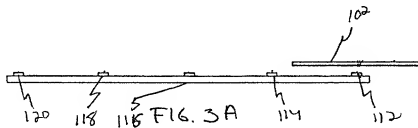
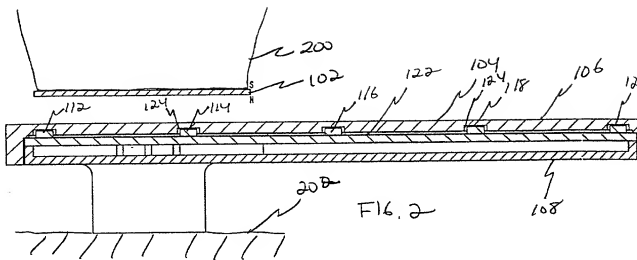


FIG. 1



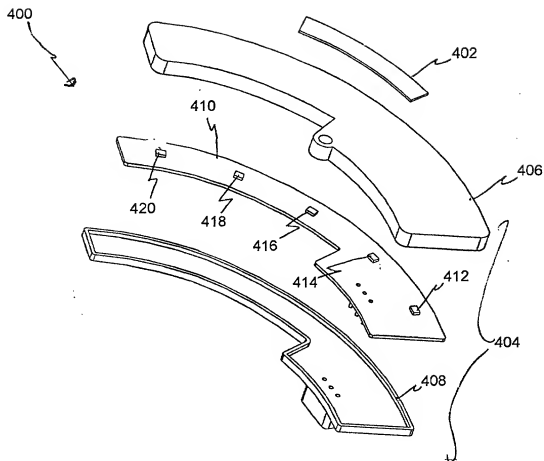


FIG. 4

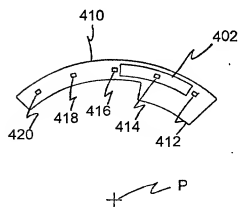


FIG. 5

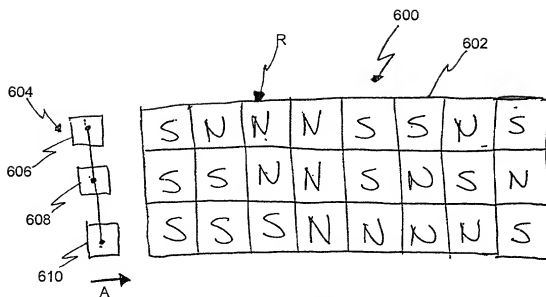


FIG. 6

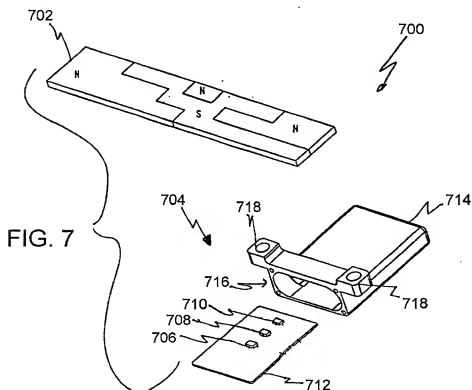


FIG. 7

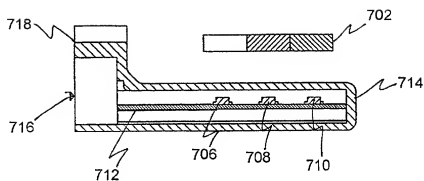


FIG. 8

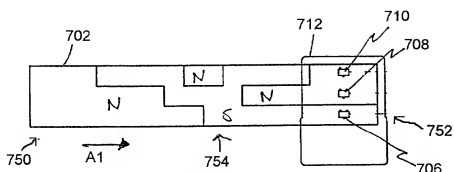


FIG. 9

State Changes

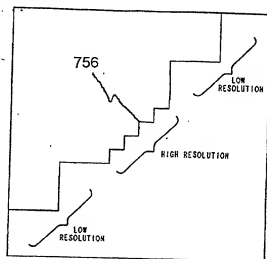


FIG. 9A

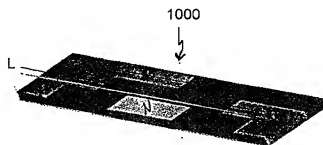


FIG. 10A

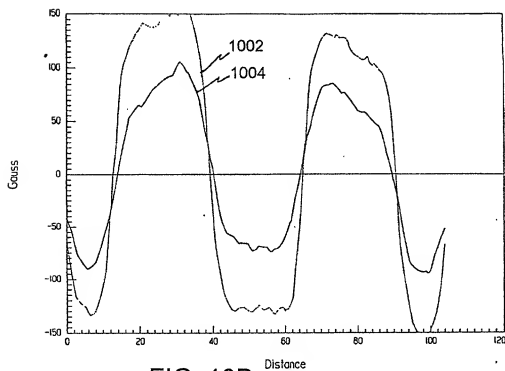


FIG. 10B

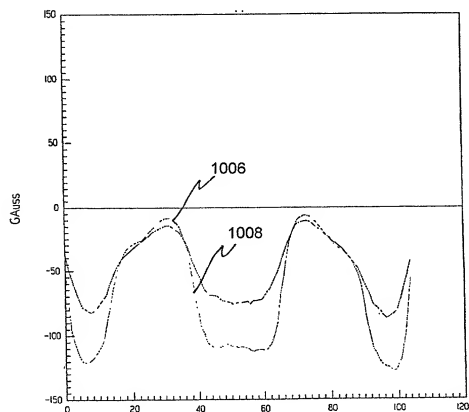


FIG. 10C

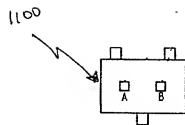


FIG. 11

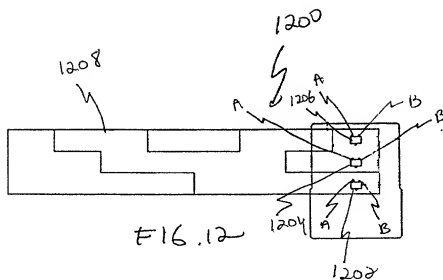


FIG. 12

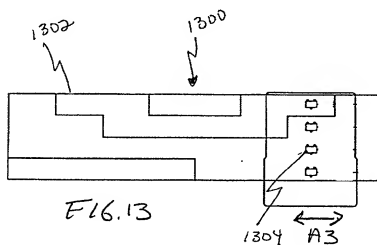
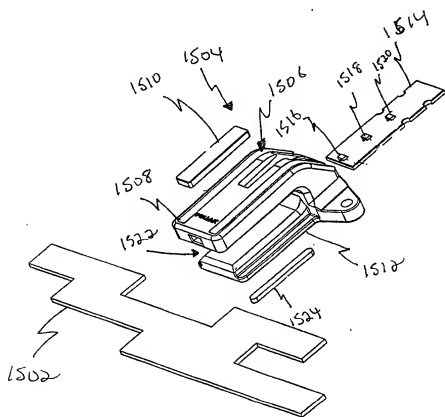
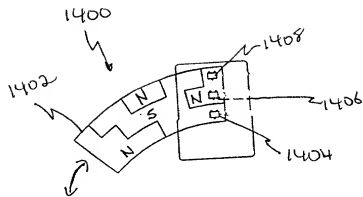


FIG. 13





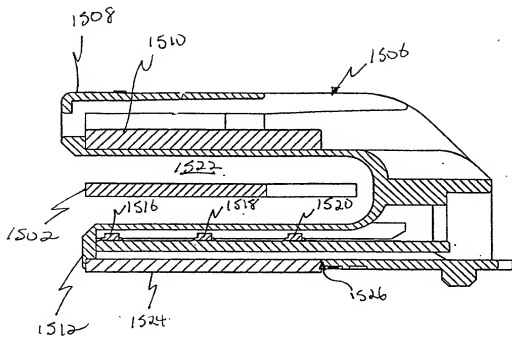


FIG. 16.

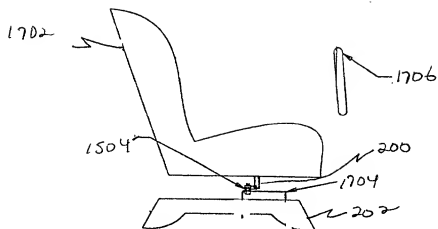


FIG. 17

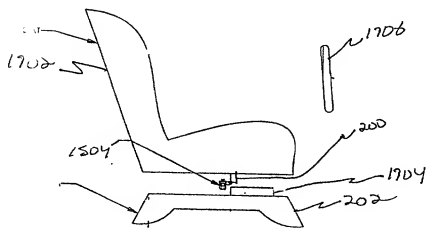


FIG. 18

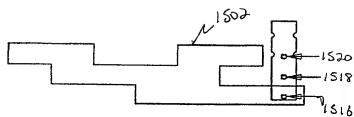


FIG. 19A

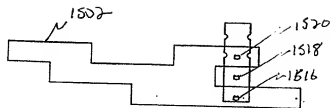


FIG. 19B

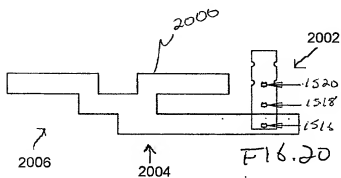


FIG. 20

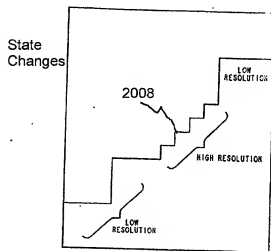


FIG. 20A

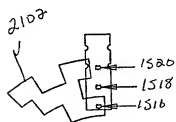
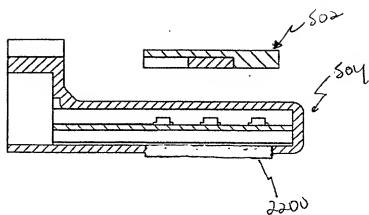
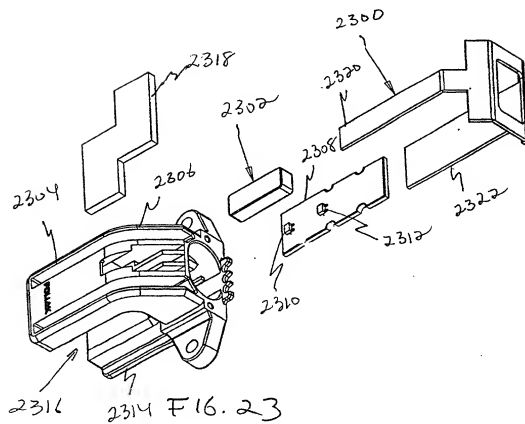


FIG. 21

VP1



F16.22



F16.23

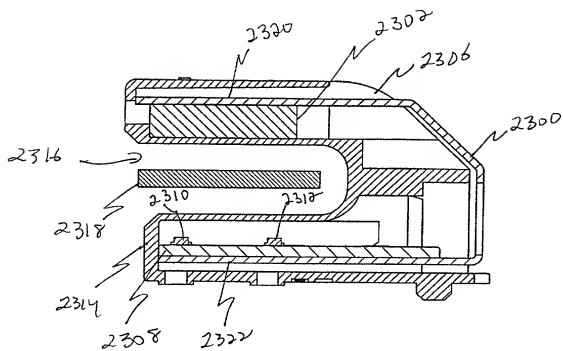


FIG. 24

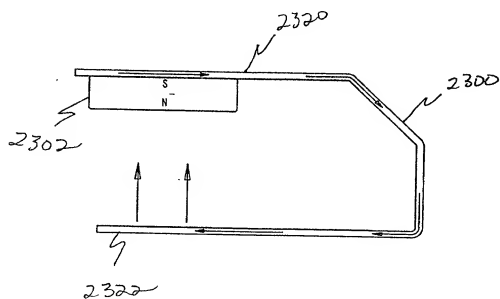
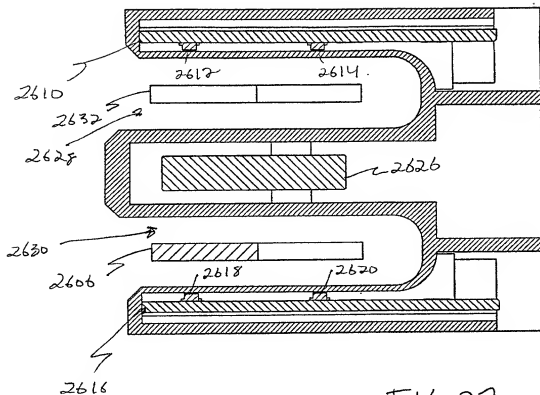
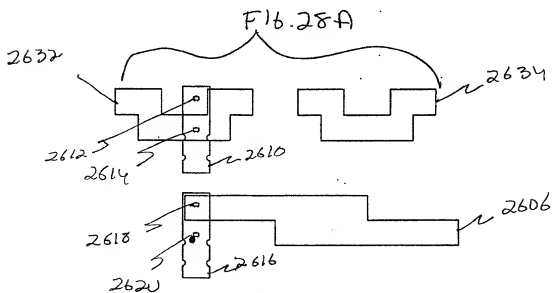


FIG. 25





F16.27



F16.28 B